

4

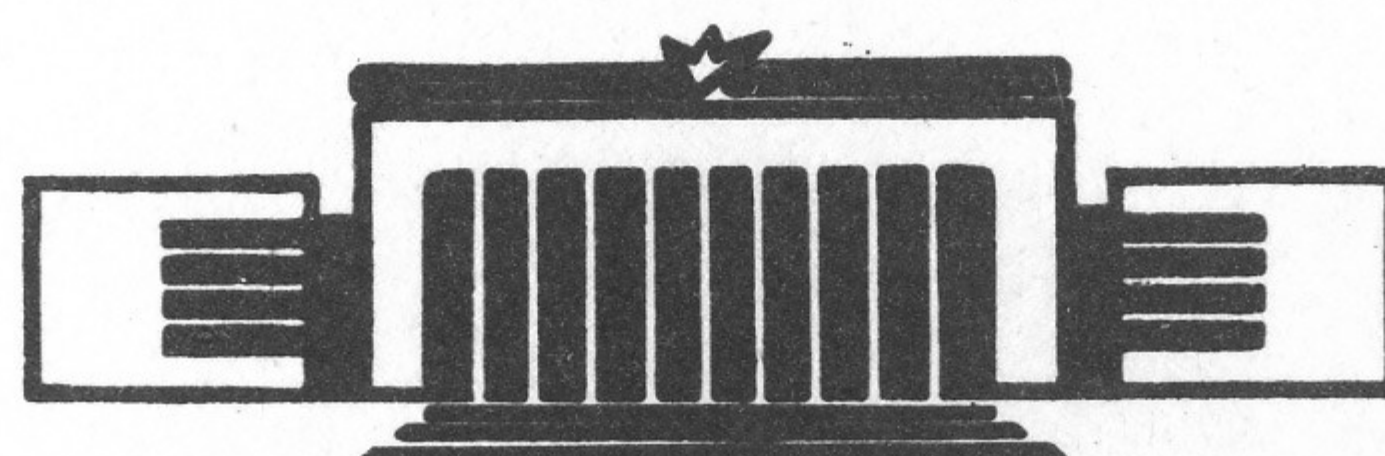
ИНСТИТУТ ЯДЕРНОЙ ФИЗИКИ СО АН СССР



Я.С.Дербенев, А.А.Жоленц, В.А.Киселев,
А.М.Кондратенко, Г.А.Корнюхин, С.И.Мишнев,
С.А.Никитин, Е.Л.Салдин, А.Н.Скринский,
А.Б.Темных, Г.М.Тумайкин, Ю.Н.Ульянов,
В.М.Хорев, М.В.Юрков

ПРОЕКТ
ПОЛУЧЕНИЯ ПРОДОЛЬНО ПОЛЯРИЗОВАННЫХ
ВСТРЕЧНЫХ ПУЧКОВ В НАКОПИТЕЛЕ ВЭПП-4
ПРИ ЭНЕРГИЯХ ДО 2×2 ГэВ

ПРЕПРИНТ 83-93



НОВОСИБИРСК

ПРОЕКТ ПОЛУЧЕНИЯ ПРОДОЛЬНО ПОЛЯРИЗОВАННЫХ ВСТРЕЧНЫХ
ПУЧКОВ В НАКОПИТЕЛЕ ВЭШ-4 ПРИ ЭНЕРГИЯХ ДО 2x2 ГэВ

Я.С.Дербенев, А.А.Жоленц, В.А.Киселев, А.М.Кондратенко,
Г.А.Корнихин, С.И.Мишинев, С.А.Никитин, Е.Л.Салдин,
А.Н.Скринский, А.Б.Темных, Г.М.Тумайкин, Ю.Н.Ульянов,
В.М.Хорев, М.В.Юрков

АННОТАЦИЯ

Разработан проект получения продольно поляризованных встречных электрон-позитронных пучков на накопителе ВЭШ-4 с использованием сверхпроводящего соленоида, который поворачивает спин на угол 180° вокруг вектора скорости ("сибирская змейка" I рода). Частицы поляризуются в бустерном накопителе ВЭШ-3, имеющем короткое время поляризации. Управление поляризацией пучков при перепуске из ВЭШ-3 в ВЭШ-4 осуществляется с помощью импульсного соленоида, размещенного в канале. Время существования продольной поляризации определяется квантовыми флюктуациями энергии и может составлять несколько часов на энергии до 2 ГэВ. Обсуждаются пути повышения светимости в этой области энергий.

ПРОЕКТ ПОЛУЧЕНИЯ ПРОДОЛЬНО ПОЛЯРИЗОВАННЫХ ВСТРЕЧНЫХ
ПУЧКОВ В НАКОПИТЕЛЕ ВЭПП-4 ПРИ ЭНЕРГИЯХ ДО 2x2 ГэВ

Я.С.Дербенев, А.А.Жоленц, В.А.Киселев, А.М.Кондратенко,
Г.А.Корнюхин, С.И.Мишнев, С.А.Никитин, Е.Л.Салдин,
А.Н.Скринский, А.Б.Темных, Г.М.Тумайкин, Ю.Н.Ульянов,
В.М.Хорев, М.В.Юрков

I. ОБЩЕЕ ОПИСАНИЕ

Возможным способом организации продольной поляризации в экспериментальном промежутке электрон-позитронного накопителя ВЭПП-4 при энергиях встречных пучков $\leq 2x2$ ГэВ является размещение в противоположном промежутке (техническом) соленоида, поворачивающего спин на угол $\varphi = \pi/2$ (см. Рис. I). При этом устойчивое направление поляризации $\vec{n}(\theta) = \vec{n}(\theta + 2\pi)$ [1] полностью лежит в плоскости орбиты и составляет с вектором скорости угол, равный $\nu(\pi - \theta)$, где азимут $\theta = 0$ в месте расположения соленоида ($\nu = E [МэВ] / 440, 65$).

Кинематическая основа данной схемы была предложена в [2,3] и впоследствие названа "Сибирской змейкой". Она обладает тем замечательным свойством, что в ней независимо от энергии частиц частота прецессии спина вокруг \vec{n} всегда равна $1/2$, а на азимуте $\theta = \pi/2$ (месте встречи) вектор \vec{n} ориентирован по скорости.

В работах [5,6] была показана возможность применения этой схемы в реальных условиях накопителя ВЭПП-4. Конкретный вариант предусматривает размещение в его техническом промежутке вблизи места впуска пучков сверхпроводящего соленоида с максимальным интегралом поля ~ 210 кГс.м. Рядом располагаются специальные линзы для компенсации возмущения, вносимого соленоидом в орбитальное движение.

Возможность получения продольно поляризованных частиц в такой простой схеме обусловлена тем обстоятельством, что инжектором для ВЭПП-4 служит бустерный накопитель ВЭПП-3, имеющий короткое время радиационной поляризации на энергии перепуска (20 минут при $E=2,1$ ГэВ). Перепуск поляризованных

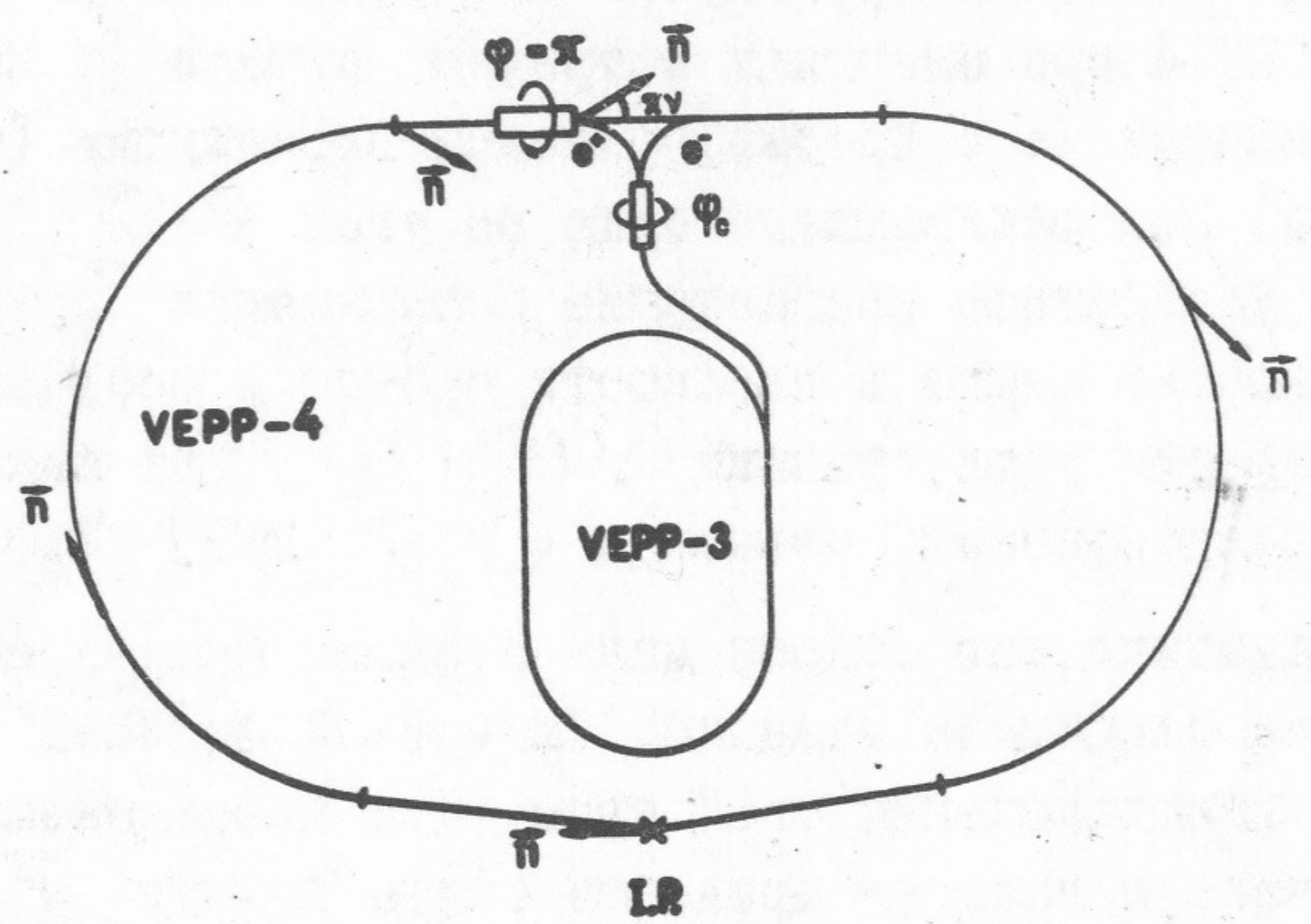


Рис. I. Кинематика спина в схеме получения продольной поляризации с использованием "сибирской змеевки".

электронов (позитронов) из ВЭШ-3 в ВЭШ-4 будет происходить при включенном соленоиде. Для обеспечения высокой степени продольной поляризации необходимо иметь как можно большую величину проекции вектора спина инжектируемых частиц на вектор \vec{n} в месте впуска. С этой целью предусмотрено управление поляризацией пучков на выходе из канала инжекции с помощью размещенного в нем импульсного соленоида.

Время существования продольной поляризации в данной схеме полностью определяется деполяризующим влиянием квантовых флуктуаций энергии при излучении. Так как вектор поляризации лежит в плоскости орбиты перпендикулярно ведущему полю, перемешивание траекторий частиц в пучке в результате этих флуктуаций приводит к значительной спиновой диффузии, разрушающей начальную поляризацию. Время деполяризации быстро падает с энергией ($\sim E^{-7}$), однако при энергии на ВЭШ-4 $\lesssim 2$ ГэВ это время $\gtrsim 1$ часа, что является достаточным для проведения экспериментов с продольно поляризованными пучками.

2. УПРАВЛЕНИЕ ПОЛЯРИЗАЦИЕЙ В КАНАЛЕ ИНЖЕКЦИИ

Элементы канала инжекции не располагаются в одной плоскости, поэтому повороты спина в нем не коммутируют, и вектор поляризации на входе в ВЭШ-4 может принимать различные направления в зависимости от энергии пучков E .

В описываемой схеме начальная степень продольной поляризации равна $\xi(\vec{S} \cdot \vec{n})$, где $(\vec{S} \cdot \vec{n})$ – проекция вектора спина инжектируемых частиц на вектор \vec{n} в месте впуска ($|\vec{S}|=1$), ξ – степень поперечной поляризации пучка в ВЭШ-3 перед выпуском ($\xi_{max}=0,92$). Вектор \vec{n} , как видно из рисунка I, в месте впуска лежит в медианной плоскости и составляет угол ψ с вектором скорости частиц.

Управление поляризацией в канале с целью увеличить проекцию $(\vec{S} \cdot \vec{n})$ будет осуществляться импульсным соленоидом длиной 6 м с полем до 25 кГс, который разместится перед последним элементом канала -90° поворотным магнитом (см. Рис. I). При фиксированной энергии инжекции E выбором угла поворота спина в соленоиде φ_c в диапазоне от $\pi/4$ до $\pi/2$ удается обеспечить величину проекции $(\vec{S} \cdot \vec{n}) \approx 1$ как для электро-

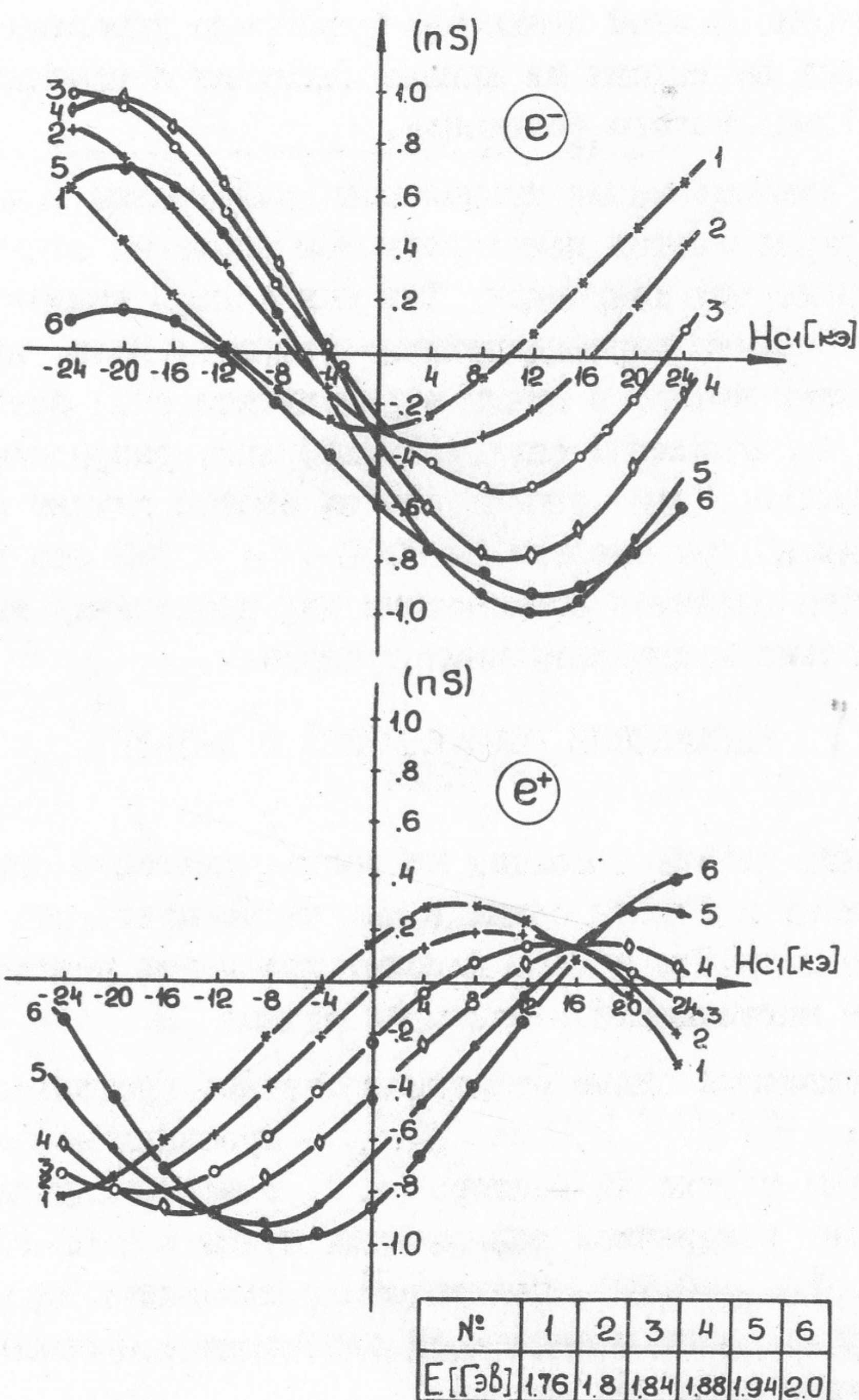


Рис.2. Проекция спина ($\vec{S} \cdot \vec{n}$) инжектируемых частиц на ось \vec{n} как функция энергии и величины поля импульсного соленоида канала.

но, как и для позитронов. На рис.2 представлены результаты расчета проекции ($\vec{S} \cdot \vec{n}$) при разных значениях поля соленоида H и энергии инъекции E . Как видно из рисунка, изменением знака поля H можно без существенных потерь обращать направление поляризации электронов и, значит, приготавливать любые комбинации спиральностей встречных пучков.

3. СОЛЕНОИД НА ВЭП-4

Соленоид в ВЭП-4, вращая спин на угол 180° , одновременно поворачивает плоскость поперечных колебаний (X – радиальных, Z – вертикальных) на угол 90° и тем самым сильно возмущает орбитальное движение. Тем не менее оказывается возможным компенсировать это возмущение, комбинируя соленоид или эквивалентную ему группу соленоидов с квадрупольными линзами, повернутыми на определенные углы [4,5,7]. В нашем случае за основу выбрана схема компенсации [7]. Разработана вставка в накопитель, состоящая из двух сверхпроводящих одинаковых соленоидов с суммарным углом поворота спина π и пяти квадрупольных линз, четыре из которых повернуты на угол $\pi/4$ (см. Рис.3 и Табл. I).

Таблица I

Энергия	= 1,98 ГэВ
Эффективная длина соленоидов	= 2 x 145 см
Эффективное поле соленоидов	= 71,7 кГс
Градиент x длина (линза № 7)	= -2,76 $\frac{\text{kГс}}{\text{см}}$ x 36 см
Градиент x длина (линзы № 2 и № 9)	= $\pm 2,26 \frac{\text{kГс}}{\text{см}}$ x 24 см
Градиент x длина (линзы № 3 и № 8)	= $\pm 2,01 \frac{\text{kГс}}{\text{см}}$ x 24 см
Полная длина вставки с соленоидом и линзами	= 532 см

По матрице преобразования фазового пространства (X, X' , Z, Z') участок вставки эквивалентен равному по длине пустому промежутку. Небольшая разница состоит в том, что при этом имеется дополнительный фазовый сдвиг на π между вертикальными и радиальными бетатронными колебаниями. Связь X и Z – колебаний локализована на участке вставки, поскольку

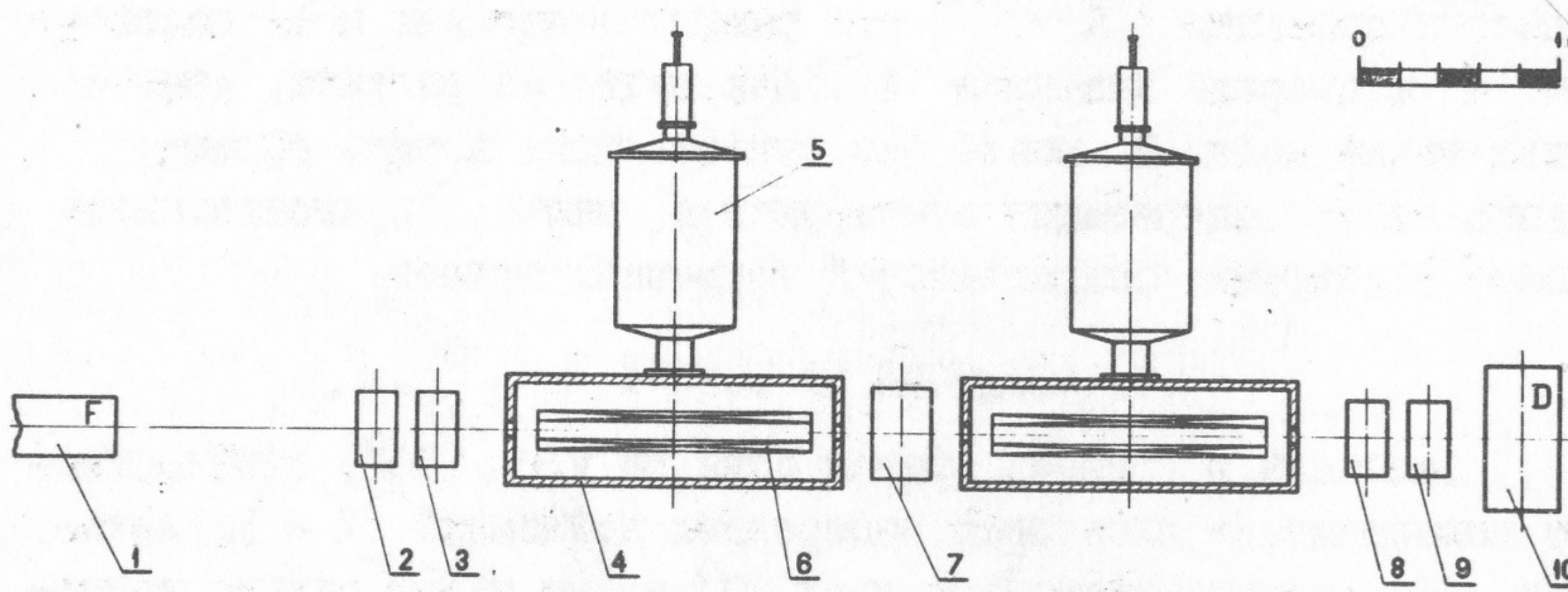


Рис.3. Схема вставки с соленоидом в техническом промежутке ВЭП-4:

- 1,10 – элементы основной магнитной структуры,
- 2,3,8,9 – скью-квадрупольные линзы,
- 4 – магнитный экран,
- 5 – гелиевый дыхар,
- 6 – сверхпроводящий соленоид,
- 7 – квадрупольная линза.

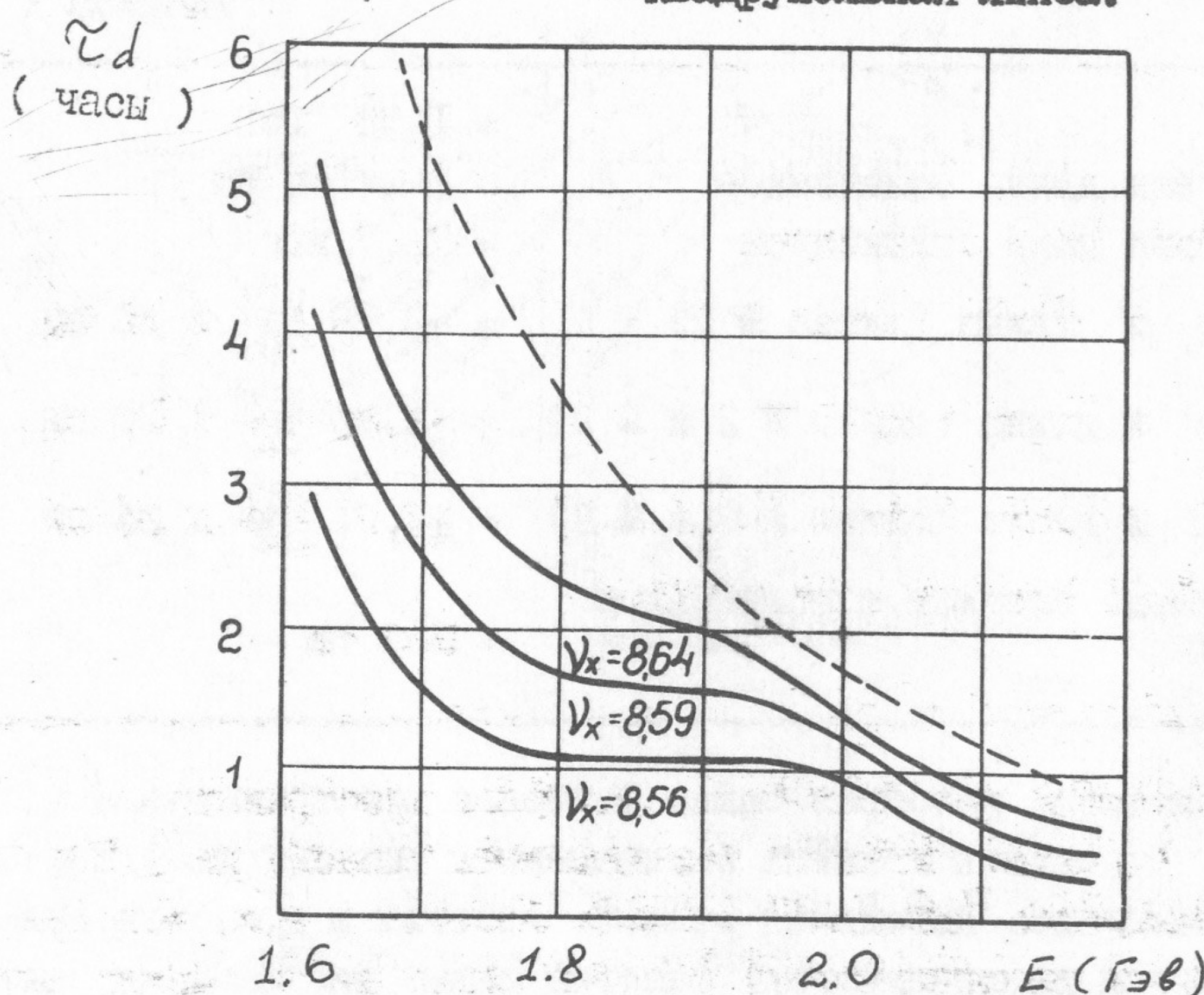


Рис.4. Расчетное время деполяризации.

радиальные бетатронные колебания, возбуждаемые квантовыми флуктуациями в кольце, переходят в вертикальные отклонения только внутри вставки. При этом нет возбуждения вертикального фазового объема за пределами указанного участка из-за отсутствия на нем синхротронного излучения.

4. СКОРОСТЬ ДЕПОЛЯРИЗАЦИИ

Согласно [8] общее выражение для характерного времени деполяризации имеет вид

$$\tilde{T}_d = \tilde{T}_0 \langle |\mathcal{K}|^3 \rangle \langle |\mathcal{K}|^3 \left[1 - \frac{2}{9} (\vec{n} \cdot \vec{\sigma})^2 + \frac{11}{18} |\vec{d}|^2 \right] \rangle^{-1}$$

где \mathcal{K} – безразмерная кривизна орбиты (в единицах обратного среднего радиуса машины), $\vec{\sigma}$ – скорость (скорость света = 1), угловые скобки означают усреднение по азимуту накопителя, \vec{d} – функция спин-орбитальной связи. Величина \tilde{T}_0 равна времени радиационной поляризации в накопителе без соленоидов. Первые два слагаемые внутри скобок выражения для \tilde{T}_d учитывают прямое деполяризующее воздействие синхротронного излучения на спин (излучение с переворотом спина). Последнее слагаемое связано с деполяризующим влиянием квантовых флуктуаций энергии при наличии спин-орбитальной связи. Функция спин-орбитальной связи $d(\theta)$ [8, 9] характеризует отклик в спиновом движении от возмущения энергии частицы на азимуте θ . В данной схеме вклад спин-орбитальной связи в скорость спиновой диффузии является доминирующим.

[5,6]

Результаты расчета времени деполяризации как функции энергии приведены на Рис.4. Пунктирной линией показана зависимость $\tilde{T}_d(E)$, учитывающая изменение замкнутой орбиты частицы за счет квантовых флуктуаций энергии. Полная зависимость $\tilde{T}_d(E)$ с учетом изменений и бетатронного движения в результате флуктуации энергии при разных значениях частоты ν_x радиальных колебаний представлена сплошными линиями.

Из рисунка можно видеть, например, что на энергии ψ' – резонанса (1,84 ГэВ) при отстройке частоты ν_x на 0,1 от полуцелого спинового резонанса (в рабочей области бетатронных частот ВЭП-4) величина \tilde{T}_d составляет ~ 2 часа.

5. СВЕТИМОСТЬ

Вышеописанный способ позволяет получать на ВЭП-4 продольно поляризованные встречные пучки и проводить с ними физические эксперименты при энергиях накопителя $\lesssim 2$ ГэВ, например, в области ψ -резонансов или выше пороговой энергии рождения $\tilde{\tau}$ -лептона ($1,78$ ГэВ).

В настоящее время рассматриваются возможности повышения более чем на порядок светимости установки при этих энергиях (имеющаяся светимость $\sim 3 \cdot 10^{28} \text{ см}^{-2} \text{ сек}^{-1}$):

- 1) перестройка оптики экспериментального промежутка для достижения значения $\beta_2^* \approx 5$ см (вместо $\beta_2^* = 45$ см);
- 2) использование витглера с целью некогерентного увеличения фазового объема пучков;
- 3) организация многосгусткового режима работы (до 9-ти сгустков в каждом пучке).

Л и т е р а т у р а

1. Я.С.Дербенев, А.М.Кондратенко, А.Н.Скринский, ЖЭТФ 60, 1216 (1971), ДАН СССР, 192, 1255 (1970).
2. Я.С.Дербенев, А.М.Кондратенко. ДАН СССР, 223, 830 (1975).
3. Я.С.Дербенев, А.М.Кондратенко. Труды X Международной конференции по ускорителям. Серпухов, 1977, т.2, стр.70-75.
4. Я.С.Дербенев, А.М.Кондратенко. Препринт ИЯФ 78-74, Новосибирск (1978).
5. С.А.Никитин, Е.Л.Салдин. Препринт ИЯФ 81-19, Новосибирск (1981).
6. С.А.Никитин, Е.Л.Салдин, М.В.Юров. Труды Международного симпозиума по поляризованным явлениям в физике высоких энергий. Дубна, 1982, стр.291-301.
7. А.А.Жоленц, В.Н.Литвиненко. Препринт ИЯФ 81-80, Новосибирск (1981).
8. Я.С.Дербенев, А.М.Кондратенко. Препринт ИЯФ 72-68, Новосибирск (1972); ЖЭТФ, 64, 1918 (1973).
9. Я.С.Дербенев, А.М.Кондратенко. ЖЭТФ, 62, 430 (1972).

Я.С.Дербенев, А.А.Жоленц, В.А.Киселев, А.М.Кондратенко,
Г.А.Корнюхин, С.И.Мишнев, С.А.Никитин, Е.Л.Салдин,
А.Н.Скринский, А.Б.Темных, Г.М.Тумайкин, Ю.Н.Ульянов,
В.М.Хорев, М.В.Юрков

ПРОЕКТ ПОЛУЧЕНИЯ ПРОДОЛЬНО ПОЛЯРИЗОВАННЫХ ВСТРЕЧНЫХ
ПУЧКОВ В НАКОПИТЕЛЕ ВЭПП-4 ПРИ ЭНЕРГИЯХ ДО 2x2 ГэВ

Препринт
№ 83- 93

Работа поступила 21 июля 1983г.

Ответственный за выпуск - С.Г.Попов

Подписано к печати 17.08.83г. № 03305

Формат бумаги 60x90 1/16 Усл. 0,6 печ.л., 0,5 учетно-изд.л.

Тираж 290 экз. Бесплатно. Заказ № 93

Ротапринт ИЯФ СР АН СССР, г. Новосибирск, 90